

## 基础研究

## miR-101对结直肠癌细胞SW620生物学特性的影响

刘燕<sup>1</sup>, 陆滢霞<sup>2</sup>, 周敏<sup>2</sup>, 郑林<sup>2</sup>, 李学农<sup>2</sup><sup>1</sup>川北医学院病理学系, 四川南充 637000; <sup>2</sup>南方医科大学病理学系//广东省分子肿瘤病理学重点实验室, 广东广州 510515

**摘要:**目的 探讨miR-101对结直肠癌细胞SW620增殖、凋亡及细胞周期的影响。方法 利用CCK8法、平板克隆形成实验、细胞周期、细胞凋亡方法分别检测SW620、GV209-SW620、mir101-SW620 3组细胞的生物学特性。结果 CCK8比色法结果显示SW620各组细胞生长时间水平差异具有显著性( $F=4152, P<0.001$ ), 细胞增殖能力组间有显著性差异( $F=10220, P<0.001$ )。平板克隆实验的结果为SW620空白对照组、GV209-SW620对照组和mir101-SW620组的克隆形成率分别为: 44.33%、48.17%、35.17%。SW620 3组细胞间的克隆形成能力差异具有统计学意义( $F=73.015, P<0.001$ )。细胞周期分析发现SW620各组细胞间其G<sub>1</sub>、S、G<sub>2</sub>/M期存在着统计学差异( $F=45.974, P=0.019; F=122.139, P=0.000; F=115.171, P=0.000$ )。除了SW620和GV209-SW620的G<sub>2</sub>期分布无统计学差异外( $P=0.441$ ), 其余各组G<sub>1</sub>、G<sub>2</sub>/M期均有统计学差异( $P<0.01$ ); 与SW620和GV209-SW620相比, mir101-SW620组出现了明显的G<sub>1</sub>和G<sub>2</sub>/M期周期阻滞。细胞凋亡实验发现SW620细胞各组细胞凋亡率差异有统计学意义( $F=6115, P<0.001$ ), 各组进行两两比较, 均有统计学差异( $P<0.01$ )。与SW620空白细胞组、GV209-SW620对照组相比, miR-101过表达组细胞凋亡率增加( $P<0.05$ )。结论 miR-101能够抑制结直肠癌细胞SW620的增殖, 细胞G<sub>1</sub>和G<sub>2</sub>/M期周期阻滞及促进细胞凋亡。

**关键词:** 结直肠癌; miR-101; SW620; 增殖; 凋亡; 细胞周期; 生物学特性

## Effect of miR-101 on biological characteristics of colorectal cancer cell line SW620

LIU Yan<sup>1</sup>, LU Yanxia<sup>2</sup>, ZHOU Min<sup>2</sup>, ZHENG Lin<sup>2</sup>, LI Xuenong<sup>2</sup><sup>1</sup>Department of Pathology, North Sichuan Medical College, Sichuan Province, Nanchong 637000, China; <sup>2</sup>Department of Pathology, College of Basic Medical Sciences, Key Laboratory of Molecule Tumor Pathology of Guangdong Province, Guangzhou 510515, China

**Abstract: Objective** To investigate the effect of miR-101 on biological behaviors of colorectal cancer cell line SW620. **Methods** CCK-8 method, colony formation assay, cell cycle analysis and apoptosis analysis were applied to assess the effects of miR-101 on cell proliferation, invasion and apoptosis of SW620 cells. **Results** Over-expression of miR-101 in SW620 cells significantly suppressed the cell proliferation and attenuated the colony-forming ability of the cells. Flow cytometry showed that over-expression of miR-101 in SW620 cells caused obvious cell cycle arrest in G<sub>2</sub>/M and G<sub>1</sub> phases, and significantly increased the cell apoptosis rate. **Conclusion** Over-expression of miR-101 can inhibit the proliferation, cause cell cycle arrest and promote apoptosis of colorectal cancer SW620 cells.

**Key words:** colorectal cancer cells; miR-101; SW620 cells; proliferation; apoptosis; cell cycle

MicroRNAs(miRNAs)是一类长度约18-22核苷酸的非编码小分子RNA家族,在转录后水平,通过碱基互补方式与靶向蛋白编码基因mRNA的3'UTR结合,调控靶基因的表达,引起其降解或抑制其翻译;发挥着类似于癌或者抑癌基因的作用<sup>[1-5]</sup>。miRNAs调控着人

类基因组中约1/3的蛋白编码基因,包括细胞增殖、分化、代谢、周期、凋亡及个体的发育等在内生命活动<sup>[6-7]</sup>。miR-101属于miRNAs家族,存在于多种细胞中。成熟的miR-101有21个bp,在各个物种中,具有高度保守的成熟序列。研究表明,miR-101在多种实体肿瘤中如乳腺癌、前列腺癌、肺癌、垂体腺瘤、肝癌、胃癌、食管癌、卵巢上皮癌、胎儿型横纹肌肉瘤、胰腺癌、骨肉瘤等表达水平下调<sup>[5, 8-19]</sup>。miR-101可能参与肿瘤的发生、转移与侵袭等过程;并与患者的临床病理特征、生存预后及靶向治疗有关<sup>[6-17]</sup>。在实体肿瘤中,miR-101可能起着抑制肿瘤发生发展的作用<sup>[20]</sup>。研究表明miR-101和其靶基因在肿瘤细胞的增殖、分化、细胞周期、凋亡、迁移、侵袭

收稿日期:2015-11-23

基金项目:国家自然科学基金(81272758,81302158)

Supported by National Natural Science Foundation of China (81272758, 81302158).

作者简介:刘燕,硕士, E-mail: liuyanruoshui@163.com

通信作者:李学农,教授,主任医师,博士,博士生导师,电话:020-62787586, E-mail: leexue0@126.com

转移以及其他过程中起着一定的作用<sup>[1-2]</sup>。miR-101可抑制肝癌细胞的增殖;克隆形成及细胞周期的转录因子<sup>[4-5]</sup>。研究发现,miR-101可抑制胃癌细胞的迁移,增殖能力<sup>[21]</sup>。在肺癌细胞中,miR-101通过靶向调控CXCL12的表达而抑制肺癌细胞的增殖,迁移并促进肿瘤细胞凋亡<sup>[22]</sup>。在胰腺癌中,miR-101通过靶向作用于HMGA2而抑制EMT过程<sup>[18]</sup>。在骨肉瘤细胞中,miR-101靶向抑制c-FOS抑制肿瘤细胞的增殖、迁移和侵袭能力<sup>[19]</sup>。而本课题组前期研究发现,miR-101在低转移的SW480中表达较高,而在高转移SW620细胞中表达较低,成功构建稳定过表达miR-101的细胞株SW620,并发现在结直肠癌细胞株中miR-101可靶向调控RAC1表达<sup>[23]</sup>。miR-101可调控多种肿瘤细胞的生物学行为,而其对结直肠癌细胞SW620的生物学特性的影响的研究甚少,值得我们探讨。

## 1 材料和方法

### 1.1 细胞株

结直肠癌细胞株SW620由本实验保存。稳定过表达miR-101细胞株miR101-SW620及其阴性对照GV209-SW620由本课题组前期构建<sup>[1]</sup>。

### 1.2 试剂

RPMI 1640培养基和胎牛血清均购自Hyclone。CCK8试剂盒(日本同仁)购买于北京智杰方远科技有限公司,细胞周期试剂盒、细胞凋亡试剂盒均购买于南京凯基生物科技发展有限公司。

### 1.3 CCK-8细胞增殖实验

取生长状态良好的细胞,消化后计数接种于96孔板中,每孔细胞2000个,每孔体积为100  $\mu$ L,每组设置3个复孔。待细胞贴壁后,使用CCK-8试剂检测每一组的A值,以确保每孔细胞数比较一致。然后在每天同一时间点每孔加入10  $\mu$ L CCK-8试剂后37  $^{\circ}$ C孵育2 h,以blank对照孔进行调零,使用GloMaxTM96 Microplate Luminometer发光检测仪测量其A值,用相对应的A值表示该组细胞增殖能力的大小。每组取3孔的平均值,并绘制增殖曲线,重复实验3次。

### 1.4 平板克隆形成实验

取生长状态良好的细胞,用PBS液洗3次,然后用胰酶消化,反复吹打细胞悬液,制成单细胞悬液进行细胞计数,以每孔200个细胞密度接种于6孔板内,细胞培养21 d后,取出6孔板,吸去培养液,用PBS洗3次,空气干燥后用多聚甲醛固定15 min。然后使用苏木素染色20 min后用流水缓慢洗去染液,于空气干燥后肉眼计数其形成的克隆数(在显微镜下其细胞数目 $\geq$ 50个细胞作为一个克隆)。按照公式平板克隆的形成率=形成克隆数目/接种的细胞数目 $\times$ 100%分别计算其克隆形成率。

### 1.5 细胞周期分析

取状态良好的细胞接种于6孔板内待细胞密度在80%以上时,弃去6孔板内的培养基,用预冷的PBS清洗2次,然后加入胰酶消化,待细胞收缩变圆的时候终止消化,轻柔吹打细胞使其成为单细胞悬液后将其加入1.5 mL EP管中,2000 r/min,离心5 min,尽量将PBS去除。然后每个EP管中加入70%冰乙醇500  $\mu$ L固定细胞,置于4  $^{\circ}$ C中过夜。第2天拿出EP管,于室温下1000 r/min,离心5 min,然后PBS清洗2次后,然后加入100  $\mu$ L RNase A,置于37  $^{\circ}$ C水浴30 min后,再加400  $\mu$ L的PI,将其混和均匀,4  $^{\circ}$ C避光30 min。使用流式细胞仪上机检测,记录激发波长488 nm处红色荧光,每组设3个复孔。

### 1.6 细胞凋亡实验

取生长状态良好的细胞,接种于6孔板内,待细胞密度约80%时,然后吸去6孔板内的培养基,冷PBS洗2次,然后用不含EDTA的胰酶进行消化细胞,收集细胞放置于EP管内,用PBS洗涤细胞2次(2000 r/min离心5 min)收集 $1\sim 5\times 10^5$ 细胞,然后加入500  $\mu$ L 1 $\times$ Binding Buffer悬浮细胞,然后加入1  $\mu$ L AnneXin V-PE,轻轻地混匀后于4  $^{\circ}$ C避光反应15 min,加入5  $\mu$ L 7AAD,再次混匀,于4  $^{\circ}$ C避光孵15 min,1 h内使用流式细胞仪检测细胞凋亡的情况。

### 1.7 统计学处理

采用SPSS13.0统计软件进行数据分析。CCK8及细胞周期分析值比较采用析因分析和单因素方差分析,多重比较方差齐时采用LSD法、方差不齐时用Dunnett T<sub>3</sub>法。 $P<0.05$ 时,差异有统计学差异。

## 2 结果

### 2.1 CCK-8细胞增殖测定

采用CCK-8法检测过表达miR-101后SW620各组细胞的体外增殖能力的变化,并绘制生长曲线(表1,图1)。析因方差分析结果显示:SW620细胞各组生长时间水平具有显著性差异( $F=4152, P<0.001$ ),组间具有显著性差异( $F=10220, P<0.001$ ),时间与组间交互效应有显著性差异( $F=1825, P<0.000$ )。以上结果表明,与空白组、对照组相比,miR101-SW620组的增殖速度明显降低,提示miR-101能抑制SW620细胞的体外增殖能力。

### 2.2 平板克隆形成实验

利用平板克隆形成实验检测过表达miR-101后细胞体外增殖能力的变化。平板克隆实验的结果为SW620空白对照组、GV209-SW620对照组和miR101-SW620组的克隆形成率分别为:44.33%、48.17%、35.17%。单因素方差分析结果显示SW620 3组细胞间

表1 CCK-8增殖实验检测miR-101对SW620细胞增殖的影响

Tab.1 The effect of overexpression miR-101 on SW620 by CCK8 assays

	SW620	GV209-SW620	mir101-SW620	F	P
Day 1	0.0167±0.0012	0.017±0.0017	0.0173±0.0012	0.176	0.842
Day 2	0.0403±0.0042	0.0367±0.0021	0.0223±0.0015	33.391	0.001
Day 3	0.0717±0.0055	0.0553±0.0032	0.0233±0.0021	120.896	0.000
Day 4	0.3507±0.026	0.13±0.02	0.074±0.0036	176.123	0.000
Day 5	0.839±0.022	0.1993±0.0047	0.1173±0.0078	2547	0.000
Day 6	0.9683±0.0255	0.2227±0.0078	0.126±0.0115	2267	0.000
Day 7	1.4553±0.0085	0.2893±0.0031	0.172±0.004	46390	0.000

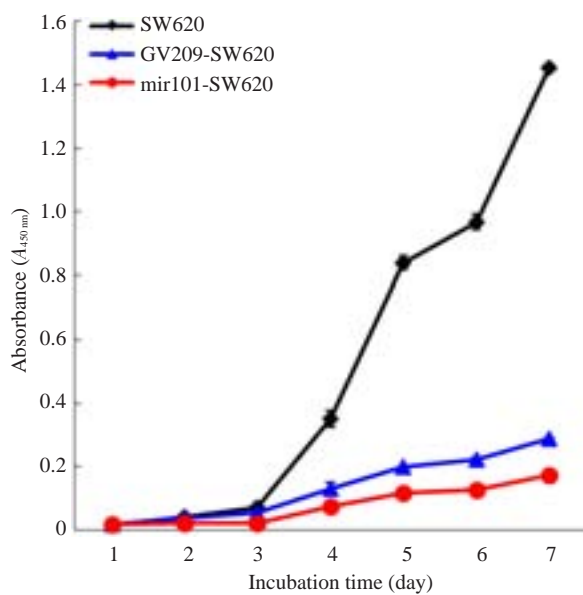


图1 miR-101过表达处理后SW620细胞的体外增殖情况

Fig.1 *In vitro* proliferation of SW620 cells with miR-101 over-expression.

的克隆形成能力差异具有统计学意义( $F=73.015, P<0.001$ ,图2)。与SW620空白对照组、GV209-SW620对照组相比,过表达miR-101组细胞克隆形成率明显降低,表明过表达miR-101后,可能抑制结直肠癌细胞SW620的增殖能力。

### 2.3 细胞周期分析

利用流式细胞仪技术检测分析过表达miR-101后对结直肠癌细胞SW620的细胞周期进程的影响(表2,图3)。细胞周期分析发现SW620各组细胞间其G<sub>1</sub>、S、G<sub>2</sub>/M期存在着统计学差异( $F=45.974, P=0.019; F=122.139, P=0.000; F=115.171, P=0.000$ )。除了SW620和GV209-SW620的G<sub>2</sub>期分布无统计学差异外( $P=0.441$ ),其余各组G<sub>1</sub>、G<sub>2</sub>/M期存在着统计学差异( $P<0.01$ );与SW620和GV209-SW620相比,mir101-SW620

组出现了明显的G<sub>1</sub>和G<sub>2</sub>/M期周期阻滞。

### 2.4 细胞凋亡实验

流式细胞仪检测过表达miR-101后SW620各组细胞凋亡的情况(图4)。细胞凋亡实验发现SW620、GV209-SW620、miR101-SW620细胞各组细胞凋亡率分别为(0.0217±0.0016)、(0.0270±0.0018)、(0.0999±0.0015);差异有统计学意义( $F=6115, P<0.001$ ),各组进行两两比较,均有统计学差异( $P<0.01$ )。与SW620空白细胞组、GV209-SW620对照组相比,miR-101过表达组细胞凋亡率增加( $P<0.05$ )。

## 3 讨论

miR-101在乳腺癌、前列腺癌、肺癌、垂体腺瘤、肝癌、胃癌、食管癌、卵巢上皮癌、胎儿型横纹肌肉瘤、胰腺癌、骨肉瘤、胆囊癌等多种实体肿瘤中表达水平下调,表明其可能与肿瘤的发生、转移、侵袭等过程相关,具有抑制肿瘤发生的作用<sup>[5, 8-21, 24]</sup>。Wang等<sup>[25]</sup>的研究表明,在胃癌细胞及其组织中miR-101的表达均下调,并且与肿瘤的生长、侵袭和转移密切相关。有研究表明miR-101下调EZH2的表达抑制食管癌细胞的增殖、迁移能力、促进肿瘤细胞凋亡;通过靶向作用于CXCR7而抑制乳腺癌细胞的增殖、侵袭能力,通过调控血管内皮生长因子C抑制肝癌细胞的迁移和侵袭<sup>[5, 14, 26]</sup>。本课题组在前期研究中利用慢病毒GV209-mir101载体及其阴性对照载体转染结直肠癌细胞株SW620,从而实现了miR-101的长期稳定表达,成功构建稳定过表达miR-101的细胞株SW620,为进一步研究miR-101对结直肠癌细胞生物学特性的影响提供了基础<sup>[23]</sup>。

本研究通过CCK8细胞增殖实验、平板克隆实验发现miR-101可能抑制结直肠癌细胞的增殖。Strillaccia等<sup>[27]</sup>研究发现,miR-101在结肠癌患者的癌组织标本中表达明显低于其癌旁组织,高表达miR-101

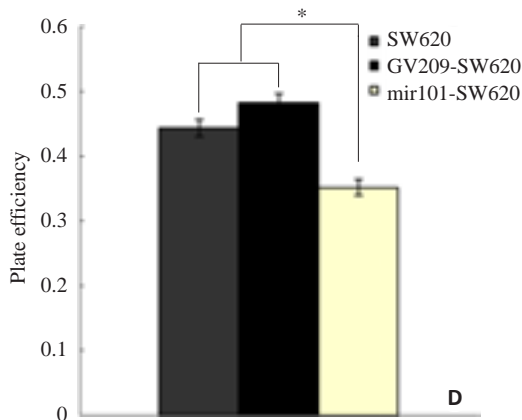
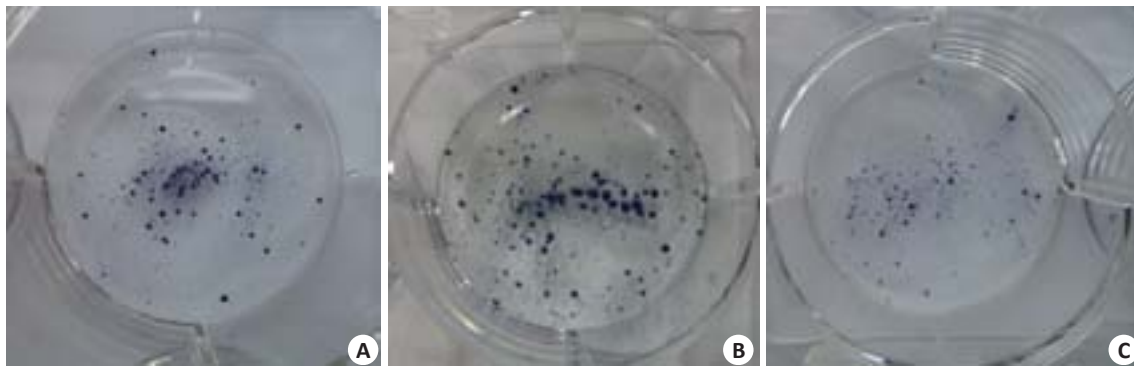


图2 miR-101对SW620细胞平板克隆形成能力的影响

Fig.2 Effect of miR-101 over-expression on plate colony formation of SW620 cells. A: SW620; B: GV209-SW620; C: mir101-SW620; D: Comparison of plate colony formation efficiency among the 3 groups (\* $P < 0.05$ ).

表2 流式细胞仪分析过表达 miR-101 后对结肠癌细胞SW620各组细胞周期的影响

Tab.2 The effect to colorectal cancer cell cycle with overexpression miR-101 in SW620 by flow cytometry

Cycle	SW620	GV209-SW620	mir101-SW620	<i>F</i>	<i>P</i>
G <sub>1</sub>	0.3789±0.0089	0.4096±0.0081	0.4328±0.0008	45.947	0.000
S	0.5121±0.0063	0.4815±0.0109	0.4031±0.0087	122.139	0.000
G <sub>2</sub>	0.1090±0.0044	0.1055±0.0023	0.1635±0.0076	115.171	0.000

后可抑制结肠癌细胞的远处转移。Lin 等<sup>[28]</sup>发现 miR-101 通过靶向作用于 Rac1 抑制甲状腺乳头状癌细胞的生长,本课题组前期研究发现,在结肠癌细胞株中 miR-101 可靶向调 RAC1 的表达<sup>[23]</sup>,表明 miR-101 可能靶向调控 RAC1 抑制结肠癌细胞的生长,和 Lin 等的研究结果一致。这提示 miR-101 可能发挥着抑制结肠癌发生的作用,其具体机制值得我们进一步探讨。

细胞周期结果表明, miR-101 可调控结肠癌细胞周期,使其细胞出现了 G<sub>1</sub> 和 G<sub>2</sub>/M 期周期阻滞。G<sub>1</sub> 期周期阻滞表明细胞的增殖速度减慢,提示 miR-101 可能抑制结肠癌细胞的增殖。放射治疗是治疗肿瘤病人的重要方式之一,而其效果如何,与肿瘤细胞周期分布密不可分,通常认为 G<sub>2</sub>/M 期对放疗最为敏感, G<sub>1</sub> 次之, S 期最不敏感。细胞发生 G<sub>2</sub>/M 期阻滞时将无法完成其 DNA 损伤修复,从而引起 G<sub>2</sub>/M 期阻滞

延长,细胞的增殖能力下降,导致细胞增殖死亡<sup>[29]</sup>。转移是结肠癌患者死亡的主要原因,放射治疗对发生转移的患者具有一定的作用。过表达 miR-101 后细胞出现了明显的 G<sub>2</sub>/M 期周期阻滞,表明 miR-101 可能增加结肠癌细胞的放疗敏感性,其是否能增强结肠癌患者对放疗的敏感性,延长患者预后值得我们进一步探讨。细胞凋亡实验表明, miR-101 可能促进结肠癌细胞的凋亡。研究表明在食管癌、卵巢上皮癌、胎儿型横纹肌肉瘤、肝癌及侵袭性子宫内膜癌等肿瘤细胞中, miR-101 通过下调 E2F1 的表达而抑制肿瘤细胞的增殖、迁移能力,促进细胞凋亡,并可以促进肿瘤细胞对化疗药物的敏感性<sup>[14-16, 30-31]</sup>。 miR-101 是否能增强结肠癌对化疗敏感性及其分子机制,值得进一步研究。

本研究通过 CCK-8 增殖实验、平板克隆形式实验,细胞周期和凋亡实验,发现了 miR-101 可能抑制结肠

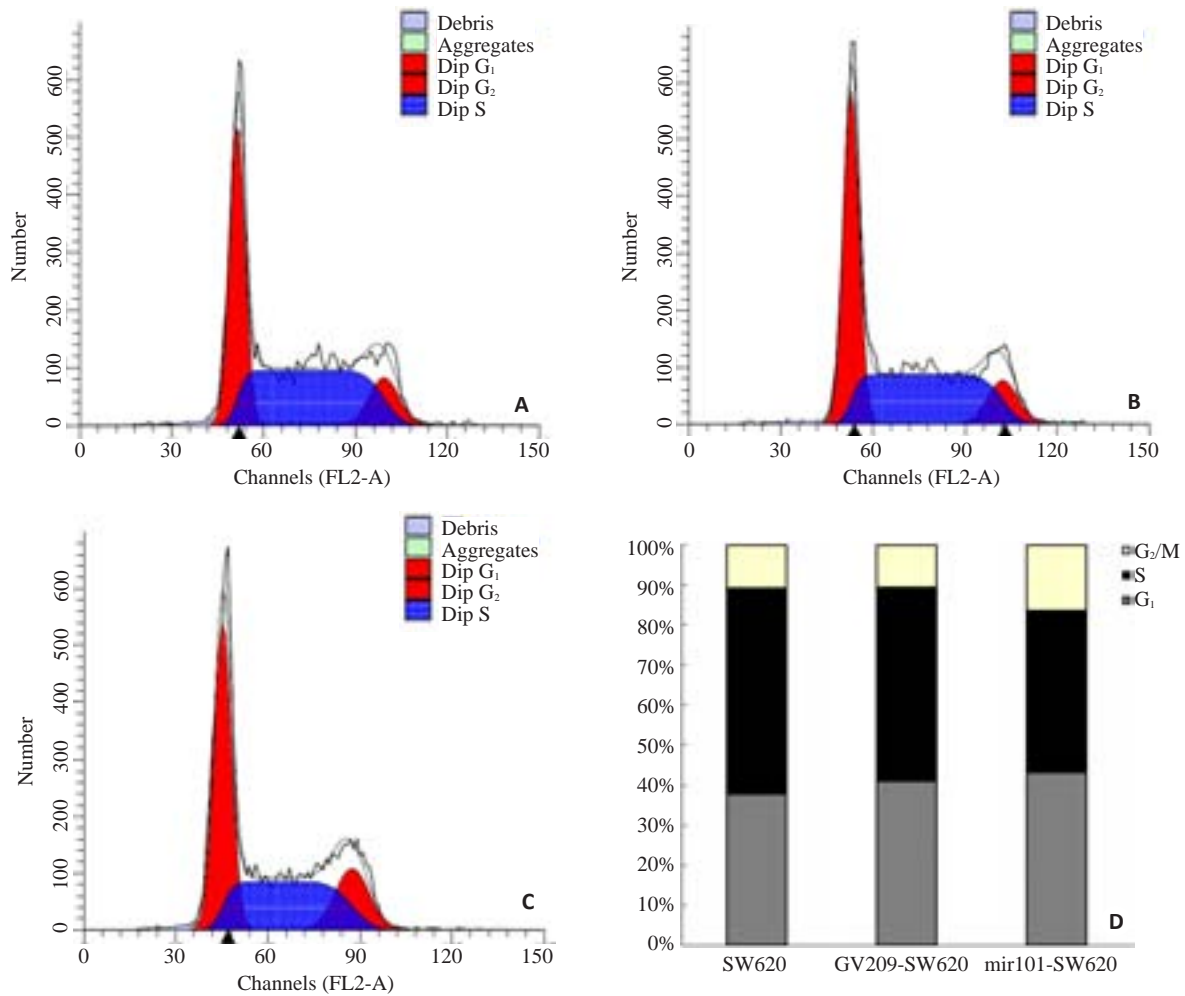


图3 流式细胞仪分析过表达miR-101后对结肠直肠癌细胞SW620周期的影响

Fig.3 Flow cytometry for analyzing the effect of miR-101 over-expression on cell cycles of SW620 cells. A: SW620; B: GV209-SW620; C: mir101-SW620; D: Comparison of cell cycle distribution among the 3 groups.

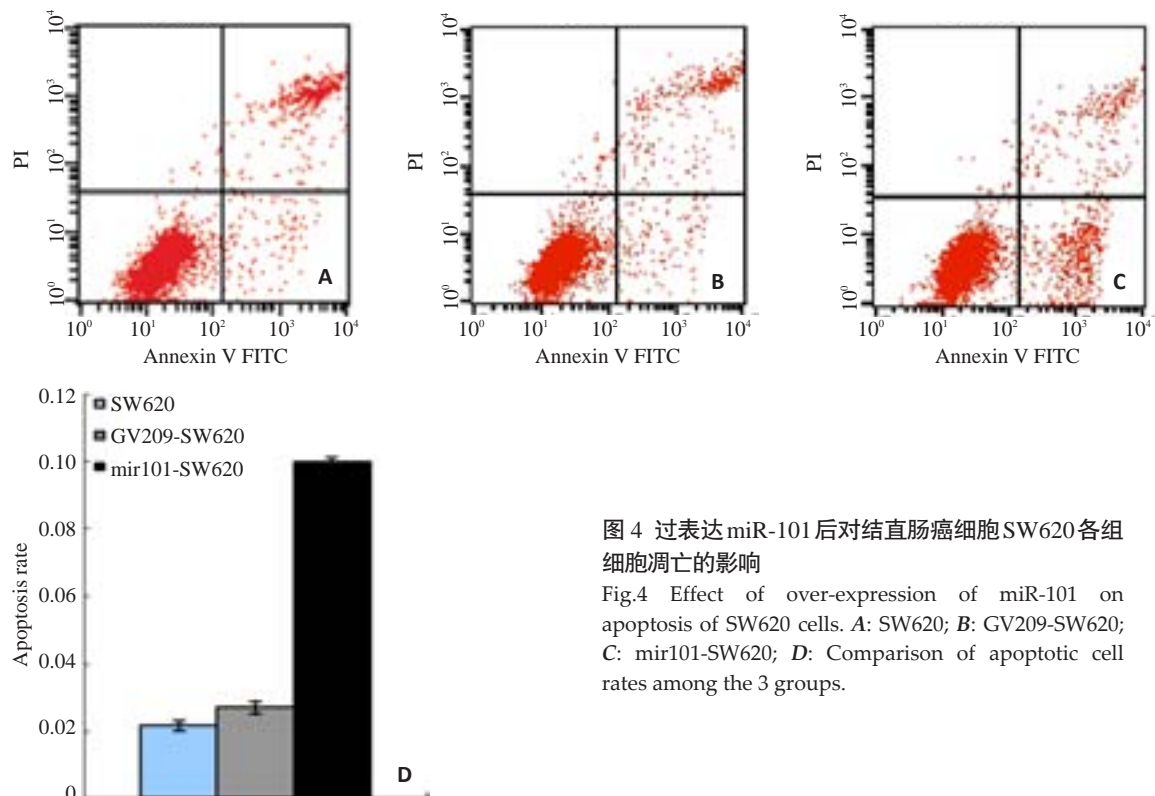


图4 过表达miR-101后对结肠直肠癌细胞SW620各组细胞凋亡的影响

Fig.4 Effect of over-expression of miR-101 on apoptosis of SW620 cells. A: SW620; B: GV209-SW620; C: mir101-SW620; D: Comparison of apoptotic cell rates among the 3 groups.

癌细胞SW620的增殖、细胞G<sub>1</sub>、G<sub>2</sub>/M周期阻滞,促进细胞凋亡。有文献报道miR-101并可通过调控PI3K/AKT/mTOR信号通路抑制胃癌细胞的细胞活力、克隆形成、迁移侵袭能力并促进肿瘤细胞的凋亡<sup>[32]</sup>。Bao等<sup>[24]</sup>发现miR-101通过调控MAPK/Erk及Smad信号通路抑制胆囊癌的转移和侵袭。Chandramouli等<sup>[27, 33]</sup>发现在结肠直肠癌细胞中,miR-101可在转录后水平调控EP4受体和Cox-2的表达从而调节肿瘤的发生发展。在结肠直肠癌细胞中,miR-101的缺失可以通过Wnt/ $\beta$ -catenin信号通路促进结肠直肠癌细胞的恶变<sup>[34]</sup>。而我们在前期研究发现miR-101可靶向调控结肠直肠癌细胞株RAC1的表达,本研究发现miR-101可能抑制结肠直肠癌细胞的生物学行为<sup>[23]</sup>。这表明miR-101可能通过靶向调控RAC1的表达参与调控结肠直肠癌细胞的生物学行为,抑制结肠直肠癌的发生发展及浸润转移。RAC1是癌基因,与肿瘤的发生、转移、侵袭、细胞凋亡、周期调控和肿瘤新生血管的形成密切相关,参与PI3K-Rac1-JNK、NF- $\kappa$ B-JNK等信号通路<sup>[35-38]</sup>。为进一步探讨miR-101在结肠直肠癌的发生发展、浸润转移的分子机制及靶向治疗提供了一定的理论依据。而在临床应用中,miR-101是否可能增强结肠直肠癌患者对放化疗的敏感性,并成为结肠直肠癌患者靶向治疗及预后的生物学指标值得进一步探讨。

#### 参考文献:

- [1] Bartel DP. MicroRNAs: genomics, biogenesis, mechanism, and function[J]. Cell, 2004, 116(2): 281-97.
- [2] Esquela-Kerscher A, Slack FJ. Oncomirs-microRNAs with a role in cancer[J]. Nat Rev Cancer, 2006, 6(4): 259-69.
- [3] Manikandan J, Aarthi JJ, Kumar SD, et al. Oncomirs: the potential role of non-coding microRNAs in understanding cancer [J]. Bioinformatics, 2008, 2(8): 330-4.
- [4] Yi H, Hua-Chien C, Chao-Wei C, et al. Identification of atwo-layer regulatory network of proliferation-related microRNAs inhepatoma cells[J]. Nucleic Acids Res, 2012, 40(20): 10478-93.
- [5] Liu ZY, Wang JJ, Mao YQ, et al. MicroRNA-101 suppresses migration and invasion *via* targeting vascular endothelial growth factor-C in hepatocellular carcinoma cells[J]. Oncol Lett, 2016, 11(1, A): 433-8.
- [6] Lim LP, Glasner ME, Yekta S, et al. Vertebrate MicroRNA genes[J]. Science, 2003, 299(5612): 1540.
- [7] Silahtaroglu A, J SJ. MicroRNAs,epigenetics and disease[J]. Essays Biochem, 2010, 48(1): 165-85.
- [8] Iorio MV, Ferracin M, Liu CG, et al. MicroRNA gene expression deregulation in human breast cancer[J]. Cancer Res, 2005, 65(16): 7065-70.
- [9] Mattie MD, Benz CC, Bowers J, et al. Optimized high-throughput microRNA expression profiling provides novel biomarker assessment of clinical prostate and breast cancer biopsies[J]. Mol Cancer, 2006, 5: 24.
- [10] Yanaihara N, Caplen N, Bowman E, et al. Unique microRNA molecular profiles in lung cancer diagnosis and prognosis [J]. Cancer Cell, 2006, 9(3): 189-98.
- [11] Bottoni A, Zatelli MC, Ferracin M, et al. Identification of differentially expressed microRNAs by microarray: a possible role for microRNA genes in pituitary adenomas[J]. J Cell Physiol, 2007, 210(2): 370-7.
- [12] Su H, Yang JR, Xu T, et al. MicroRNA-101, down-regulated in hepatocellular carcinoma, promotes apoptosis and suppresses tumorigenicity[J]. Cancer Res, 2009, 69(3): 1135-42.
- [13] He XP, Shao Y, Li XL, et al. Downregulation of miR-101 in gastric cancer correlates with cyclooxygenase-2 overexpression and tumor growth[J]. FEBS J, 2012, 279(22): 4201-12.
- [14] Chen L, Fei H, Li QZ, et al. miR-101 suppresses tumor proliferation and migration, and induces apoptosis by targeting EZH2 in esophageal cancer cells [J]. Int J Clin Exp Pathol, 2014, 7(10): 6543-50.
- [15] Liu L, Guo JF, Yu LL, et al. miR-101 regulates expression of EZH2 and contributes to progression of and cisplatin resistance in epithelial ovarian cancer[J]. Tumor Biology, 2014, 35(12): 12619-26.
- [16] Vella S, Pomella S, Leoncini PP, et al. MicroRNA-101 is repressed by EZH2 and its restoration inhibits tumorigenic features in embryonal rhabdomyosarcoma[J]. Clin Epigenetics, 2015, 7(1): 82.
- [17] Caponi S, Funel N, Frampton AE, et al. The good, the bad and the ugly: a tale of miR-101, miR-21 and miR-155 in pancreatic intraductal papillary mucinous neoplasms [J]. Ann Oncol, 2013, 24(3): 734-41.
- [18] Jiang W, Gu W, Qiu R, et al. miRNA-101 suppresses epithelial-to-mesenchymal transition by targeting HMGA2 in pancreatic cancer cells[J]. Anticancer Agents Med Chem, 2016, 16(4): 432-9.
- [19] Wang ZL, He RZ, Xia HS, et al. MicroRNA-101 has a suppressive role in osteosarcoma cells through the targeting of c-FOS [J]. Exp Ther Med, 2016, 11(4): 1293-9.
- [20] Friedman JM, Jones PA, Liang G. The tumor suppressor microRNA-101 becomes an epigenetic player by targeting the polycomb group protein EZH2 in cancer [J]. Cell Cycle, 2009, 8(15): 2313-4.
- [21] Liu HT, Xing AY, Chen X, et al. MicroRNA-27b, microRNA-101 and microRNA-128 inhibit angiogenesis by down-regulating vascular endothelial growth factor C expression in gastric cancers [J]. Oncotarget, 2015, 6(35): 37467-79.
- [22] Zhang J, Liu J, Liu Y, et al. miR-101 represses lung cancer by inhibiting interaction of fibroblasts and cancer cells by down-regulating CXCL12 [J]. Biomed Pharmacother, 2015, 74: 215-21.
- [23] 刘燕, 陆滢霞, 周敏, 等. 稳定过表达mir-101结肠癌细胞株的建立及其靶基因的鉴定[J]. 南方医科大学学报, 2014, 43(7): 928-33.
- [24] Bao RF, Shu YJ, Hu YP et al. miR-101 targeting ZFX suppresses tumor proliferation and metastasis by regulating the MAPK/Erk and smad pathways in gallbladder carcinoma [J]. Oncotarget, 2016 Mar 8. doi: 10.18632/oncotarget.7970. [Epub ahead of print].
- [25] Wang HJ, Ruan HJ, He XJ, et al. MicroRNA-101 is down-regulated

- ingastric cancer and involved in cell migration and invasion[J]. *Eur J Cancer*, 2010, 46(12): 2295-303.
- [26] Li JT, Jia LT, Liu NN, et al. MiRNA-101 inhibits breastcancer growth and metastasis by targeting CX chemokine receptor 7 [J]. *Oncotarget*, 2015, 6(31): 30818-30.
- [27] Strillacci A, Griffoni C, Sansone P, et al. MiR-101 downregulation is involved in cyclooxygenase-2 overexpression in human colon cancer cells[J]. *Exp Cell Res*, 2009, 315: 1439-47.
- [28] Lin XJ, Guan HY, Hai L, et al. miR101 inhibits cell proliferation by targeting Rac1 in papillary thyroid carcinoma [J]. *Biomed Rep*, 2014, 2(1): 122-6.
- [29] Gupta VK, Park JO, Jaskowiak NT, et al. Combined gene therapy and ionizing radiat ion is a novel approach to treat human esophageal adenocarcinoma[J]. *Ann Surg Oncol*, 2002, 9(5): 500-4.
- [30] Xu LB, Beckebaum S, Iacob S, et al. MicroRNA-101 inhibits human hepatocellular carcinoma progression through EZH2 downregulation and increased cytostatic drug sensitivity [J]. *J Hepatol*, 2014, 60(3): 590-8.
- [31] Konno Y, Dong PX, Xiong Y, et al. MicroRNA-101 targets EZH2, MCL-1 and FOS to suppress proliferation, invasion and stem cell-like phenotype of aggressive endometrial cancer cells [J]. *Oncotarget*, 2014, 5(15): 6049-62.
- [32] Riquelme I, Tapia O, Leal P, et al. miR-101-2, miR-125b-2 and miR-451a act as potential tumor suppressors in gastric cancer through regulation of the PI3K/AKT/mTOR pathway [J]. *Cell Oncol*, 2016, 39(1): 23-33.
- [33] Chandramouli A, Onyeagucha BC, Mercado-Pimentel ME, et al. MicroRNA-101(miR-101)post-transcriptionally regulates the expression ofEP4 receptor in colon cancers[J]. *Cancer Biol Ther*, 2012, 13(3): 175-83.
- [34] Strillacci A, Griffoni C, Sansone P, et al. MiR-101 downregulation is involved in cyclooxygenase-2 overexpression in human colon cancer cells[J]. *Exp Cell Res*, 2009, 315(8): 1439-47.
- [35] Sanlioni S, Luleci G, Thomas KW. Simultaneous inhibition of Rac1 and IKK pathways sensitizes lung cancer cells to TNFalpha-mediated apoptosis[J]. *Cancer Gene Ther*, 2001, 8(11): 897-905.
- [36] Hahn A, Barth H, Kress M, et al. Role of Rac and Cdc42 in lysohosphatidicacid-mediated cyclo-oxygenase-2 gene expression [J]. *Biochem J*, 2002, 362(Pt 1): 33-40.
- [37] Chan AY, Coniglio SJ, Chuang YY, et al. Roles of the Rac1 and Rac3 GTPases in human tumor cell invasion[J]. *Oncogene*, 2005, 24(53): 7821-9.
- [38] Xuan YH, Chi LS, Tian HS, et al. The activation of the NF-kappa B-JNK pathway is independent of the PI3K-Rac1-JNK pathway involved in the bFGF-regulated human fibroblast cell migration[J]. *J Dermatol Sci*, 2016, 82(1): 28-37.

(编辑:孙昌朋)